

砂のせん断時の A-E 特性について

関西大学工学部 正会員 村山鴎郎
 関西大学工学部 正会員 道広・利
 大阪工業大学大学院 正会員。坂上敏彦
 旭工務店 正会員 二宮博之
 非破壊試験 正会員 大佳浩司

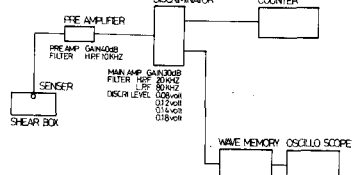
1.はじめに

今までには、砂の粒子状態をみるために、二三の実験方法の他、まだあまり開拓されたもののがみられなかった。そのため、村山は、粒子運動の観測手段として、砂粒子の運動による発生する A-E(Acoustic Emission)を利用してみるとこの意義と適用性を述べた。

本報告は、この意味で、砂のせん断中の A-E を計測し、砂の状態と塑性、塑性、破壊の三状態の存在するところ、A-E が各状態との砂粒子の運動特性とさば述べた砂の構成式による特性と対比して考察した。また、応力履歴が A-E のカイザーエフェクトにおける影響を調べて、砂に対するカイザーエフェクトの影響を明らかにした。

2. 試料、実験装置、実験方法

試料は、豊浦産の標準砂で、 $0.42\text{mm} > \text{ルイ} > 0.105\text{mm}$ のルイに残留した粒度砂(比重: 2.64)を使用した。実験装置は、プローフダイヤグラム、Fig. 1 によると。この図によると、せん断試験装置は、横 140mm、幅 298.5mm、高さ 29.5mm のせん断箱をもつて、せん断機である。A-E 検出用トランスデューサとして、共振周波数 40KHz のシリコン鉛錠のものを使用した。プリアンプは、フィルターと増幅の機能を有し、今回の実験においては、H.P.F(High Pass Filter) 10KHz、利得 40dB に固定した。ゲートクリミネータ、スルターン、増幅器が閾値設定の三機能を有し、ゲートクリミネータ、スルターン: H.P.F 20KHz, L.P.F(Low Pass Filter) 80KHz、利得: 30dB、閾値: 80mV, 120mV, 140mV, 180mV の四段階に設定して実験を行った。また、カウントバーまたはゲートの 1sec 間における閾値時間は、ゲートクリミネータ: 0.5sec としたのでカウントバー計測される際は、周波数領域 20KHz ~ 80KHz で、1 カウントあたりの回数と 1 デジタル方式で記録されたり。せん断試験は、ひずみ制御方式で、垂直応力を



[Fig. 1]

各場合とも 1 カウント一定とし、ある一定のせん断応力振幅でをもんで繰り返し、残留ひずみが 0 のときにまで行い、このときの砂の状態を塑性とした。つづいて以上の以上でせん断応力を増加し、粒状状態を経て破壊状態に達するよう行なった。これらの各せん断に際して、せん断箱底に埋め込んだセシリーバによつて、砂の A-E を検出した。

3. 実験結果および考察

Fig. 2 は、砂の繰り返しせん断時の、繰り返し回数ごとに各回数における除荷時の残留水

半変位 δ (変位は初期状態と基準とする) の関係を示す。 δ の増加率は δ の増加とともに減少する。砂が塑性状態に近づく過程をみる。

Fig.3 は、 ϵ と δ の関係を式(1)の関係とおいたときのである。 $\frac{\partial}{\partial \epsilon} = A + b\epsilon - (1)$ ここで A, b : 定数

この図の関係の直線はより、式(1)の妥当性がうかがわれる。式(1)より、繰り返し回数を無限大にしたときの水平変位は、 $\frac{1}{b}$ の値をとることがわかる。Fig.4 は、 δ が ϵ で増加し、

砂が塑性状態に移行したときの水平塑性変位 $\delta_p = (\delta - \delta_0)$ と繰り返し以上のせん断応力 $(\tau - \tau_{el})$

の関係を、塑性状態の砂の構成式、すなまこと次の式(2)の関係と画いたときのである。(1)にて

δ_0, τ_{el} : 繰り返しせん断によって弾性に達した砂の残留水平変位とせん断応力 (接觸)

$$\frac{\tau - \tau_{el}}{\delta_p} = \frac{C_0}{K} - \frac{1}{K} \epsilon - (2) \quad \text{ここで } K, C_0 : \text{定数}$$

この図は、(2)の関係の直線が示される。とすると、砂は、塑性状態から塑性状態へ移行したときにとがわる。

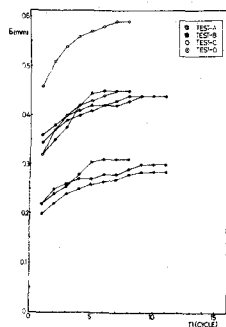
Fig.5 は、塑性状態への移行過程と、各繰り返し載荷ごとのAE累計数と残留

変位の関係を示したものである。この図によると、残留変位の減少とともに、AE発生割合も減少する。砂が塑性状態に近づくほど、AE発生は少なくなり、ついで消失する。このことは、砂が塑性に近づくほどカイグー効果が表れ、カイグー効果の消退過程、すなまこと、砂の塑性状態への移行過程を示すものと思われる。

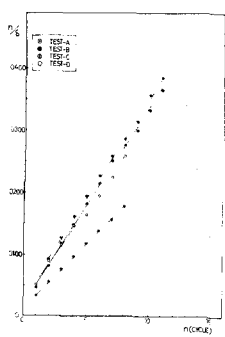
Fig.6 は、応力水平変位とAE累計数-水平変位との対応を示す

した圖である。この図のようば、1段の発生過程は、2段の発生を示す、3段の発生は、砂の弾性、塑性、および砂壩の各状態の過渡とよび一致する。1段目は、AEの発生過程は、砂のミ状態によるものと推定される。また、AE累計数-水平変位関係は、各領域における、ほぼ直線性を示す。2段目、各領域におけるAEの発生割合は、1段目より多くなる。3段目、AEの発生割合は、1段目より多くなる。1段目より、AEの発生割合は、2段目より多くなる。本研究では、砂の構成式に用いた仮説の一端がこのAEの実験により立証されたと考へる。

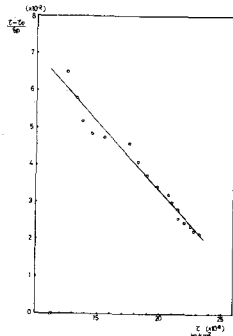
参考文献：1) S.Murayama: IX ICSMRE Constitutive Equations of Soils pp.169-180
2) S.Murayama: IX ICSMRE Constitutive Equations of Soils pp.169-180



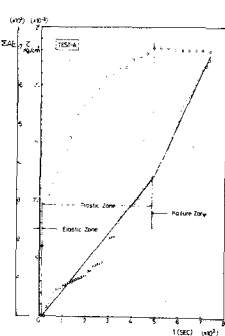
[Fig. 2]



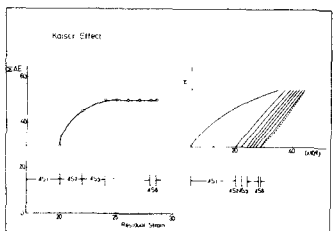
[Fig. 3]



[Fig. 4]



[Fig. 5]



[Fig. 6]